

دراسة هيدروجيوكيميائية وجيوفيزيائية لآبار عميقة مختارة في منطقة الحمداية
شمال العراق

قتيبة توفيق اليوزبكي يوسف فرنسيس اقليمس

مركز بحوث البيئة و الموارد المائية

جامعة الموصل

(تاريخ الاستلام 2002/12/21 ، تاريخ القبول 2004/2/28)

الملخص

تعد منطقة الحمداية الواقعة شرق نهر دجلة-شمال العراق ذات طبيعة زراعية وسكانية مهمة، لذا كثر الاهتمام بالاستفادة من الموارد المائية فيها والمتمثلة بالمياه الجوفية. وتتناول الدراسة الحالية تحديد أصناف هذه المياه وامتداد الخزانات الجوفية الحاملة لها، من خلال بيانات الآبار المحفورة في المنطقة وبعض نقاط الجس الكهربائي العمودي، فضلاً عن إجراء تحاليل كيميائية لنماذج مياه الآبار لغرض تحديد نوعية المياه وصالحيتها للاستخدامات المختلفة، والتعرف على امتداد هذه المياه من خلال البيانات الجيوكيميائية المتمثلة بدراسة الدالة الحامضية والأصلحية الكهربائية وتراكيز الأيونات الموجبة (Ca^{2+} , Mg^{2+} , K^+ , Na^+) والأيونات السالبة (CO_3^{2-} , HCO_3^- , SO_4^{2-} , Cl^- , NO_3^-) وتركيز المواد الصلبة الذائبة الكلية والعسرة الكلية. أظهرت الدراسة تباين في نوعية المياه يعتمد على نوع الطبقات الصخرية الحاملة لها، حيث إن بعضها تتواجد ضمن تكوين انجاعة والمتمثلة بالمناطق الشمالية والشمالية الشرقية وتمتاز هذه المياه بشكل عام بان تراكيز الأيونات فيها قليلة نسبة إلى المياه الموجودة في المناطق الغربية والجنوبية الغربية والتي تتواجد ضمن تكوين الفتحة.

**Hydrogeochemical and Geophysical Study of Selected Deep
Boreholes in Al-Hamdanyia Area, North Iraq**

Kotayba T. Al-Youzbakey Yousif F.M. Eclimes

Research Center for Environment and Water Resources

Mosul University

ABSTRACT

Al-Hamdanyia district is located east of Tigris River, northern Iraq. It is regarded as an important agricultural land. Consequently, it is necessary to give great deal to the water resources particularly the ground water. The present study deals with water level and extension of ground water reservoir through the data gathered from the drilled

boreholes and vertical geoelectrical sounding. Additionally, water samples were collected and analyzed to evaluate ground water quality and its uses for different purposes. The study also concentrates on the contents of the cations; Ca^{2+} , Mg^{2+} , Na^+ and K^+ and anions; CO_3^{2-} , HCO_3^- , SO_4^{2-} , Cl^- and NO_3^- in addition to pH, Ec, T.D.S and T.H.

The study reveals wide differences in water quality and may be related to the type of bedrocks of the ground water reservoir. Aquifers are located within Injana Fn. in the northern and northeastern parts of the study area. The aquifers are characterized by low T.D.S in comparative with aquifer within Fat'ha Fn. Which is located in the middle, western and western south parts.

المقدمة

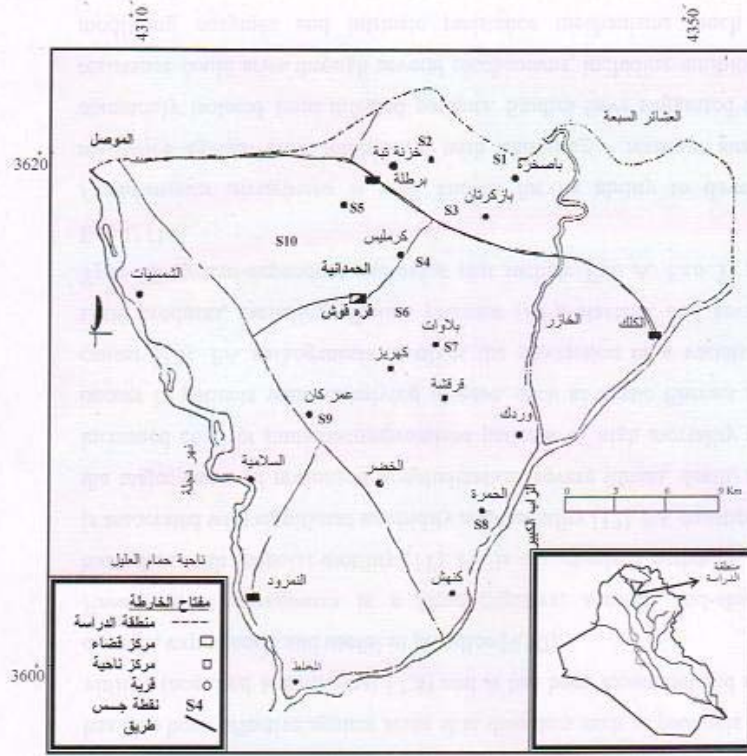
تقع منطقة الدراسة بين أنهار دجلة شرقاً والزاب الكبير جنوباً والخازر في الشمال الشرقي، وتمتد مساحة حوالي 950 كم² والتي تشمل جزءاً كبيراً من قضاء الحمدانية (شكل 1).

وتمتاز المنطقة بصورة عامة بتباين تضاريسها الأرضية، حيث تكون بين مستوية إلى قليلة الانحدار والتموج باتجاه الجنوب الغربي، ويتراوح معدل ارتفاعها ما بين 300-400 متر فوق سطح البحر. يقع جبل عين الصفرة شمال منطقة الدراسة والذي يبلغ ارتفاعه حوالي 600 متر، وتتخلل المنطقة مجموعة من الوديان الرئيسية والفرعية باتجاه الجنوب والجنوب الغربي نحو نهر دجلة والزاب الكبير. ويمتاز مناخ المنطقة بصورة عامة بأنه شبه جاف ويبلغ المعدل السنوي للساقط المطري حوالي 425 ملم/سنوياً (القصاب، 1987).

تتكشف في المنطقة صخور تعود إلى عدة تكوينات (شكل 2)، حيث تمثل صخور الحجر الجيري تكوين بلاسبي (الأيوسين الأوسط - الأعلى) الذي يتكشف عند جبل عين الصفرة (في لب تركيب عين الصفرة المحدب)، وتمتاز هذه الصخور بأنها جيرية متدلّمة قليلة المتحجرات بيضاء اللون في جزئها السفلي، بينما تمتاز صخور الجزء العلوي بأنها تتكون من الحجر الجيري الكتلي المتبلور مع وجود حزام من المارل والطين الصفاحي وعقد الصوان. يبلغ سمك الصخور المتكشفة حوالي 200 متر، وحدوده العليا غير متوافقة مع صخور تكوين الفتحة (المايوسين الأوسط) حيث يفصل بينهما طبقة رقيقة من المدملكات القاعدية. تتراوح مسامية الصخور بين (0.1-10%) وذلك بسبب كثرة الفواصل والكسور، كما تتراوح النفاذية بين (10⁻⁴-10⁻¹⁰) غالون/يوم/قدم² (ثابت والعشو، 1993).

يشتمل تكوين الفتحة على عدة دورات ترسيبية من الحجر الجيري والمارل الأخضر والأحمر والجبس والأهليدرايت، يتألف هذا التكوين من عضوين، السفلي مكون من تعاقب صخور المارل مع الحجر الجيري مع وجود حجر الطين الأخضر والمبخرات، والعلوي يتكون من تعاقبات حجر الطين الأحمر والحجر الرملي الناعم مع المتبخرات (Al-Mubarak and Yokhanna, 1977). ولا يتكشف هذا التكوين في منطقة الدراسة إلا في مناطق محدودة مثل منطقة عين الصفرة (تركيب عين الصفرة) وفي الجزء الجنوبي والجنوبي الغربي بالقرب من نهر دجلة في منطقة الحميرة ووادي اصلان. وقد تم التعرف

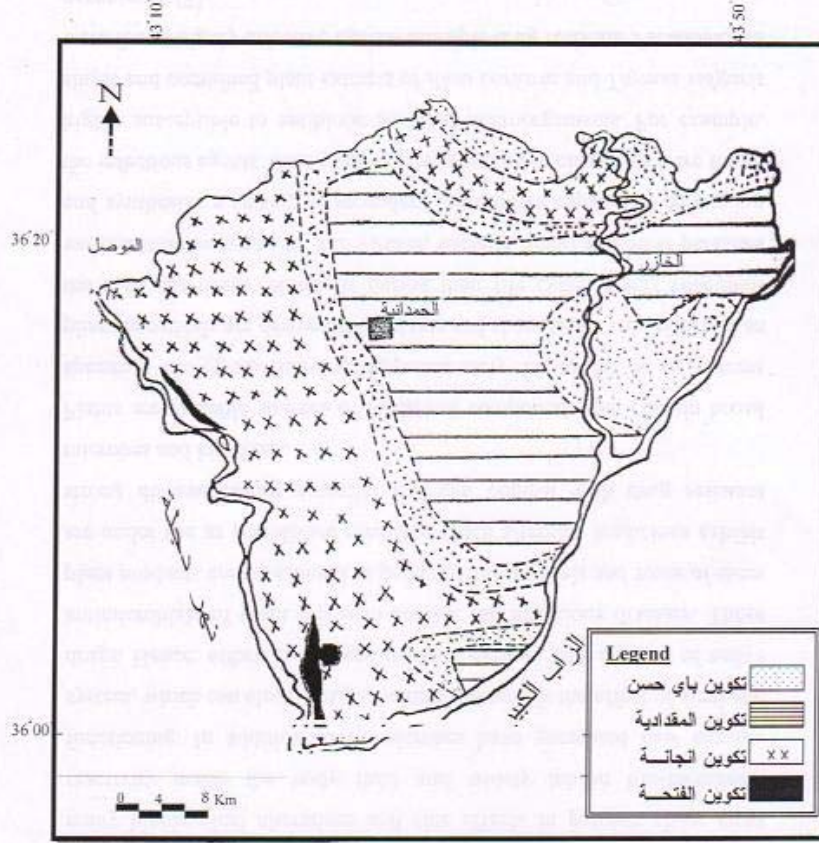
على التكوين من خلال عدة آبار محفورة في المنطقة (شكل 1). حدد الجبوري (1977) مسامية هذا التكوين في منطقة الدراسة بين 5.7-7% عند الجهة الغربية وتصل الى 22% في الجهة الشرقية من المنطقة. وبشكل عام تمتاز صخور هذا التكوين بنفاذية واطئة (البريفكاني، 1987).



شكل 1: موقع منطقة الدراسة وتوزيع نقاط الجس الكهربائي.

يعقب تكوين انجانة (المابوسين الأعلى) تكوين الفتحة، ويحدد سطحه السفلي بسطح انتقال تدريجي حيث تزداد المواد الفتاتية على حساب المواد الكربوناتيية (الجبوري، 1988). يتألف تكوين إنجانسة من تعاقبات من حجر الرمل وحجر الغرين وحجر الطفل ويشكل هذا التكوين معظم الرواسب تحت السطحية في المنطقة. يتراوح سمك هذا التكوين حوالي 200 متر في الجهة الشرقية (عند قرية كرمليس) ويقبل

باتجاه الجنوب والجنوب الغربي حيث يصل إلى 120 متر كما في بئر BH2 (عند قرية خراب سلطان).
تمتاز صخور هذا التكوين بمسامية جيدة تتراوح بين (5-25%)، أما النفاذية فتتراوح بين (10^2-10^7)
غالون/يوم/قدم² (ثابت والعشو، 1993) وهي تمثل صخور جيدة الخزن.



شكل 2: خارطة جيولوجية للتكوين المنكشفة في منطقة الدراسة.

يعقب تكوين المقدادية (البلايوسين) تكوين انجاعة ويحدد بظهور أول طبقة من حجر الرمل الحاوي على الحصى (Bellen et al., 1959). ويتألف من تعاقب حجر الرمل والطفل والغرين مع وجود طبقات

من حجر الرمل الحاوي على الحصى. يشغل هذا التكوين مساحات واسعة منكشفة في الجهة الشمالية الشرقية تغطيه طبقة من الرسوبيات الحديثة. يبلغ معدل سمكه في المنطقة حوالي 60 متراً (عند بئر خزنة تبة). أما تكوين باي حسن (البلايوسين الأعلى) فيعقب تكوين المقدادية، ويحدد أول ظهور له طبقة من المدملكات السمكية، ويتألف من تعاقب حجر المدملكات مع حجر الرمل والغرين والطفل وغالباً ما يكون مغطى أيضاً بالرسوبيات الحديثة. وبسبب محتوى التكوينين أعلاه فإنهما يمتازان بمسامية ونفاذية عاليتين نسبياً (Barwary, 1983).

وتغطي التكوينات أعلاه ترسيبات تعود إلى العصر الرباعي (Pleistocene)، وتتمثل بترسيبات المصاطب النهرية المكونة من المدملكات الحاوية على عدسات رملية وغرينية ويصل سمكها إلى حوالي 40 متر. أما الطبقة العليا المتمثلة بالترربة فهي من نوع التربة الهوائية والنهرية المنقولة، وتكون ذات نسج ناعم وذات لون قهوائي وتحتوي على نسبة عالية من الكبريتات والكاربونات، (شكل 3). ولذلك تعد تكوينات انجاعة والمقدادية وباي حسن ذات قيمة هيدروجيولوجية وخصوصاً تكوين انجاعة الذي يمثل الطبقة الخازنة الرئيسة للمياه الجوفية في المنطقة.

العصر	التكوين	العمر	المكونات الصخرية
العصر القديم	ترسيبات التربة	البلايوسين - الهولوسين	ترربة مزيجية، ورملية ومزيجية طينية، > 10 م
	المصاطب النهرية	هولوسين	تتكون من امتدادات المدملكات الحاوية على عدسات من ترسيبات الرمل والغرين، تصل إلى (40) متر.
ترسيبات العصر التاريخي	باي حسن	البلايوسين العلوي	تعاقب حجر المدملكات مع حجر الرمل وحجر الغرين وحجر الطفل. ويصل إلى (50) متر.
	المقدادية	البلايوسين	تعاقب من حجر الرمل وحجر الغرين وحجر الطفل مع وجود أفق من حجر الرمل الحاوي على الحصى، ويصل إلى (60) متر.
	انجاعة	المايوسين العلوي	تعاقب من حجر الرمل وحجر الغرين وحجر الطفل السمك مختلف يتراوح بين (120 - 200) م.
	الفتحة	المايوسين الأوسط	الجزء العلوي حجر الطين الأحمر مع حجر رمل ناعم والمتخثرات. الجزء السفلي تعاقب المارل مع حجر الجير والطين والمتخثرات السمك (200) م

شكل 3: عمود طباقى مركب في المنطقة (عن مجسات الأبار لشركة أنكرا اليوغسلافية وشركة حفر الأبار العراقية).

الدراسات المسابقة

وقد قامت عدة جهات بإجراء دراسات جيولوجية وهيدروجيولوجية عن تواجد المياه الجوفية فسي المنطقة مثل شركة ماكفادين (Mackfadyen, 1955) إلا إنها لم تحدد أعماق تلك المياه. كما درست شركة أنكرا البوغسلافية (Ingra Co., 1967) المياه الجوفية في جزء من المنطقة وحددت نوعية المياه وصلاحياتها للاستعمالات المختلفة. وتناولت دراسة هاكوبيان وفجلوبيك (Hagopian and Vejlupek, 1977) جيولوجية وتركيبية وهيدروجيولوجية منطقة الموصل-ربيل إلا إنها لم تحدد امتدادات الخزانات الحاملة للمياه الجوفية بشكل دقيق.

أشار صالح والشيخ (Saleh and Al-Shaikh, 1976) بأن المنطقة تحتوي على ثلاثة مكامن للمياه الجوفية مرتبطة كيميائياً مع صخرية المنطقة. كما درس الجبوري (1988) في الجزء الجنوبي الغربي من المنطقة وتناولت دراسته الوصف الصخاري ونوعية المياه وصلاحيها استخدامها. درس النعمي (2000) هيدروجيولوجية حوض وادي الشور وذكر أن أهم خزان مائي موجود ضمن تكوين الجبنة ، كما درس نوعية المياه وأشار إلى عدم صلاحيتها للشرب.

تهدف الدراسة الحالية إلى تحديد الطبقات الحاملة للمياه الجوفية من خلال المسح الجيوفيزيائي وكذلك تحديد نوعية هذه المياه من حيث استخداماتها المختلفة لاسيما وأن المنطقة تمتاز بنشاطها الزراعي.

طرق التحليل

1. المسح الجيوفيزيائي:

تم القيام بمسح جيوفيزيائي باستخدام طريقة المقاومة النوعية الكهربائية التي تستخدم في تحديد عمق وسمك ومقاومة الطبقات المختلفة تحت سطح الأرض. وتعتمد هذه الطريقة على امرار تيار كهربائي إلى داخل الأرض بواسطة قطبين كهربائيين ثم قياس فرق الجهد عبر قطبين آخرين وبمسافات مختلفة ومحددة، لذلك فإن أي تغيرات تحت سطحية في التوصيل الكهربائي سوف تغير من تدفق التيار وهذا بالتالي يؤثر على توزيع الجهد الكهربائي في دخل الأرض. وتم استخدام الجس الكهربائي العمودي (Vertical Electrical sounding VES) باستخدام جهاز قياس المقاومة النوعية الكهربائية (SAS300) ABEM. ويستعمل هذا الجس لتحديد التغيرات العمودي للمقاومة النوعية للطبقات تحت السطحية فضلاً عن تحديد العمق والسمك إلى السطوح البينية والذي يعني اعطاء معلومات كمية مع العمق . وقد تم استخدام ترتيب شلمبرجر في المسح الحثلي لعشرة (10) نقاط جس كهربائي موزعة بين المقاطع الصخرية للأبار الليثولوجية الموجودة في منطقة الدراسة، لغرض تحديد الأنطقة الكهربائية مع العمق. إن مسافة النشر بين الأقطاب قد تم اختيارها بشكل يتناسب مع الأعماق التي تخترق الأبار المحفورة في المنطقة، وتم اختيار نقاط الجس بالقرب من هذه الأبار، وبلغت أقصى مسافة نشر بين قطبي التيار (500-600) متر.

2. التحليل الكيميائي:

تم نمذجة المياه الجوفية من 16 بئر عميق في منطقة الدراسة تتراوح أعماقها 70-210 متر، لغرض دراسة نوعية المياه. وقد تم تحليلها كيميائياً وقياس محتواها من الأيونات الموجبة (Ca^{2+} , Mg^{2+} , K^+ , Na^+) والسالبة (CO_3^{2-} , HCO_3^- , SO_4^{2-} , NO_3^- , Cl^-)، فضلاً عن قياس الدالة الحامضية والأصلحية الكهربائية والعسرة الكلية ومحتواها من المواد الصلبة الذائبة TDS وفق الطرق القياسية المعتمدة، في مديرية المسح الجيولوجي والتعدين عام 1995. وقد أجريت عدة معالجات إحصائية بهدف توظيف البيانات التي تم الحصول عليها من المسح الجيوفيزيائي والتحليل الكيميائي لتحديد نوعية المياه وطبيعة الممكن الخازن لها.

النتائج والمناقشة

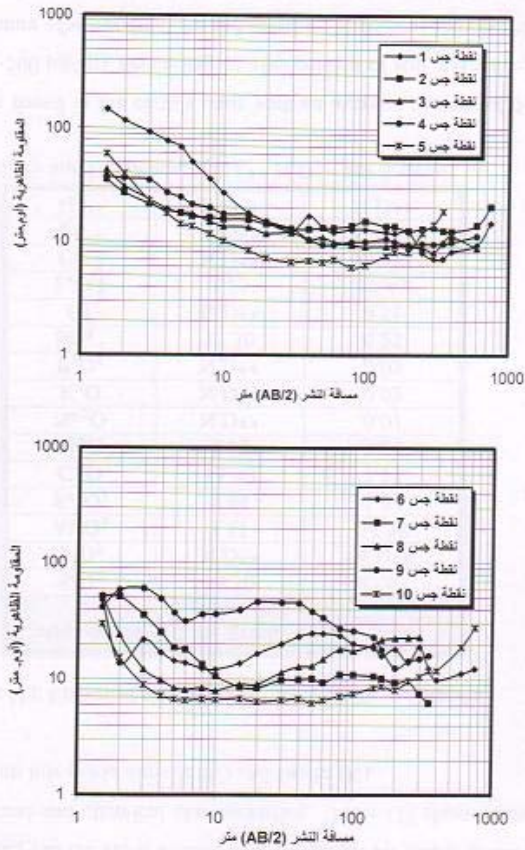
نتائج الجس الكهربائي

يمثل الشكل (4) المنحنيات الحقلية لنقاط الجس، تم تفسير المنحنيات الحقلية بمظاهراتها مع المنحنيات النظرية وبمساعدة المخططات المساعدة (Orellana and Mooney, 1966) وتم منها إيجاد المقاومة النوعية الحقيقية للطبقات وسمكها، جدول (1)، وظهر من نتائج التفسير أن أغلب أنواع المنحنيات

جدول 1: نتائج تفسيرات الجس الكهربائي.

ارتفاع النقطة (م)	نوع المنحني	سمك الطبقات			المقاومة النوعية الحقيقية					الموقع	نقطة الجس
		E3	E2	E1	ρ_5	ρ_4	ρ_3	ρ_2	ρ_1		
322	QHK	180	4.3	1		3.6	12	40	200	200	S1
289	QH	228	6.1	0.88		26	12	17	42	42	S2
300	QH	380	4.2	0.8		20	9	16	54	54	S3
302	QH	40	18	1.5	2.5	45	5	15	50	50	S4
278	QH	182	3.4	0.7		7.2	2.2	16	100	100	S5
288	HK	39	9.4	1.8		12	36	10	48	48	S6
258	Q	46	1.8	1.7		30	4.2	9	59	59	S7
240	HA	19.7	10.5	0.65		25	12	10	100	100	S8
280	HK	25	11	1		15	60	30	74	74	S9
278	HK	84	5.2	1.1		7	15	8	27	27	S10

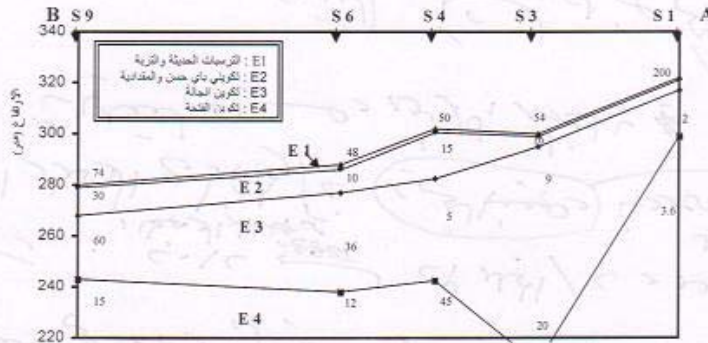
الحقلية هي من نوع QH، HKH حيث تعكس منحنيات QH اربع طبقات مختلفة المقاومة وعند المقارنة مع المقاطع الصخرية للأبار المتوفرة يتبين ان الطبقة الاولى ذات المقاومة العالية m_1 ترسبات نهريّة حديثة وتليها الطبقة الثانية والثالثة ذات مقاومة حقيقية واطنة m_3 و m_2 وتشير المقاطع الصخرية الى انها تتكون من صخور مشبعة بالمياه تعود الى تكوينات باي حسن والمقدادية وانجاعة.



شكل 4: منحنيات المقاومة الظاهرية الحقلية.

أما المنحني HKH رباعي الطبقة والذي يتوسط منطقة الدراسة المتمثل ببئر كبرلي فيعكس عدة طبقات؛ الطبقة الأولى $m1$ تعكس وجود التربة الجافة والترسبات الحديثة، أما الطبقة الثانية والثالثة فهى ذات مقاومة حقيقية واطنة وتشير الى ترسبات تكوينات باي حسن والمقدادية وانجانة. أما المنحني QHK فيعكس حالة نقصان المقاومة مع العمق ويظهر في الجهة الشمالية من منطقة الدراسة عند بئر عين الصفرة حيث تظهر الطبقة الأولى $m1$ والثانية $m2$ ويليهما طبقة ذات مقاومة حقيقية اقل وتمثل جميعها صخور تكوين إنجانة.

ومن خلال ما ذكر أعلاه يتبين ان منطقة الدراسة يمكن ان تقسم الى ثلاثة انطقة كهربيائية (شكل 5)، النطاق الأول يتمثل بمقاومة حقيقية عالية وسمك لا يتجاوز عشرة أمتار ويمثل التربة السطحية الجافة والترسبات الحديثة ويليه النطاق الثاني الذي يتمثل بقيم ذات مقاومة حقيقية لا تتجاوز 28 أوم.متر وبسمك يصل الى 40 متر عند بئر خزنة تبة والتي تمثل تكوينات باي حسن والمقدادية. أما النطاق الثالث فيتمثل بقيم مقاومة حقيقية بمدى تتراوح من 3.6 - 26 أوم.متر وبسمك يصل في بعض المناطق الى 180 متر وخاصة عند بئري كرمليس وكبرلي. وبالمقارنة مع نتائج جس الأبار الموجودة يتمثل هذا النطاق بصخور تكوين إنجانة.



شكل 5: المقطع الجيوكهربيائي بامتداد المسار A-B.

المعطيات الجيوكيميائية

هنالك عدة عوامل تتحكم في التقييم الجيوكيميائي للمياه الجوفية وأهمها؛ نوعية الصخور الحاملة وكمية ونوعية الأطوار المعدنية القابلة للذوبان ومساحة التماس بين الصخور والمياه (المسامية) وقابلية حركة المياه في الطبقات الصخرية ودرجة حرارة الوسط وضغط وسرعة جريان المياه (Toth, 1970).
يوضح الجدول (2) الصفات الفيزيائية لمياه منطقة الدراسة. ويبين الجدول (3) تراكيز الأيونات الموجبة والسالبة لمياه الأبار في منطقة الدراسة. وتتباين هذه المياه في محتواها من الكالسيوم والمغنيسيوم

والصوديوم، فبعضها أكثر من الحدود الطبيعية والبالغة (200ppm) و (40 ppm) و (100 ppm) على التوالي (Hamil and Bell, 1986)، والتي عادة توجد في الآبار العميقة. بينما تكون تراكيز هذه الأيونات ضمن الحدود الطبيعية في الآبار الأقل عمق نسبياً. ويقع تركيز ايون البوتاسيوم في مياه الآبار ضمن الحدود الطبيعية والبالغة 5 ppm (Davis and Dewist, 1966). أما محتوى المياه من تراكيز الكاربونات والبيكاربونات فتقع أغلبها ضمن الحدود الطبيعية البالغة 10 ppm و 400 على التوالي، بينما تكون تراكيز الكبريتات والكلوريدات أعلى من حدها الطبيعي والبالغ 100ppm و 30ppm (Hamil and Bell, 1986)، في جميع الآبار. وتفتقر مياه الآبار بمحتواها من النترات عدا بعض بعض الآبار المتأثرة وبشكل قليل بالنشاط الأحيائي الناتج عن تأثير البكتريا على تسخ المواد العضوية في مياه البئر، وهي قريبة من حدودها الطبيعية وبعضها تزداد الى الحدود المقبولة للشرب والبالغة 45 ppm (Walton, 1970).

جدول 2: الصفات الفيزيائية لمياه آبار منطقة الحمداية.

موقع البئر	رقم البئر	PH	Ec	TDS ppm	TH ppm
ياصخرة	1	7.2	1260	716	560.34
باشبينة	2	7.4	6810	4158	1835.69
خزنة تبة	3	7.5	1370	782	403.81
مفرق كرمليس	4	7.4	4390	2646	1247.97
كرمليس 1	5	7	10179	6156	3304.07
كرمليس 2	6	7	4109	2476	1567.23
كرمليس 3	7	7.1	9630	1560	1056.80
يرغنتي	8	7.8	3780	2270	1160.91
صركان	9	7.5	1390	786	451.34
بلاوات	10	7.7	970	562	247.18
كبرلي 1	11	7.9	995	508	289.23
كبرلي 2	12	7.7	1000	596	367.79
كبرلي 3	13	7.9	810	499	114.10
خرابة سلطان	14	7.7	935	787	785.45
كهريز	15	7.8	940	3316	971.39
الحمرة	16	7.5	1305	752	434.87

جدول 3: التحاليل الكيميائية لنماذج آبار مختارة من منطقة الحمداينة.

البئر	الأيونات السالبة (ppm)					الأيونات الموجبة (ppm)			
	NO ₃ ⁻	Cl ⁻	SO ₄ ²⁻	HCO ₃ ⁻	CO ₃ ²⁻	K ⁺	Na ⁺	Mg ²⁺	Ca ²⁺
1	0	70.9	312.33	206.79	6.45	1.84	15.87	41.43	156.13
2	0	248.1	2185.36	370.94	13.2	12.9	507.15	244.42	332.36
3	0	106.35	192.12	405.11	12	1.95	138	55.87	70.14
4	0	354.5	1272.79	201.33	12	3.91	348.6	151.27	250.5
5	0	673.55	3077.9	434.39	18	8.6	562.58	441.77	595.19
6	0	248.15	1200.75	359.98	18	2.5	163.76	208.18	284.57
7	0	177.25	698.43	363.66	18	1.98	102.7	134	202.4
8	45.88	106.35	1104.69	331.89	27.6	1.56	229.54	153.22	212.42
9	55.8	70.9	264.11	237.94	24	1.56	96.37	54.95	90.18
10	25.42	70.9	137.85	215.98	18	1.56	102.12	28.02	66.11
11	0	106.35	101.82	197.67	24	1.17	75.9	35.02	58.12
12	35.96	70.9	168.11	207.43	18	1.17	63.02	37.09	86.17
13	0	70.9	120.07	174.49	20.4	1.95	131.33	11.92	26.05
14	8.9	281	936	305	10.2	1.5	382.4	95	158
15	14.6	738	1268	98	0	2.1	673.8	88	244
16	0	70.9	264.16	275.77	16.8	1.17	89.47	52.17	88.18

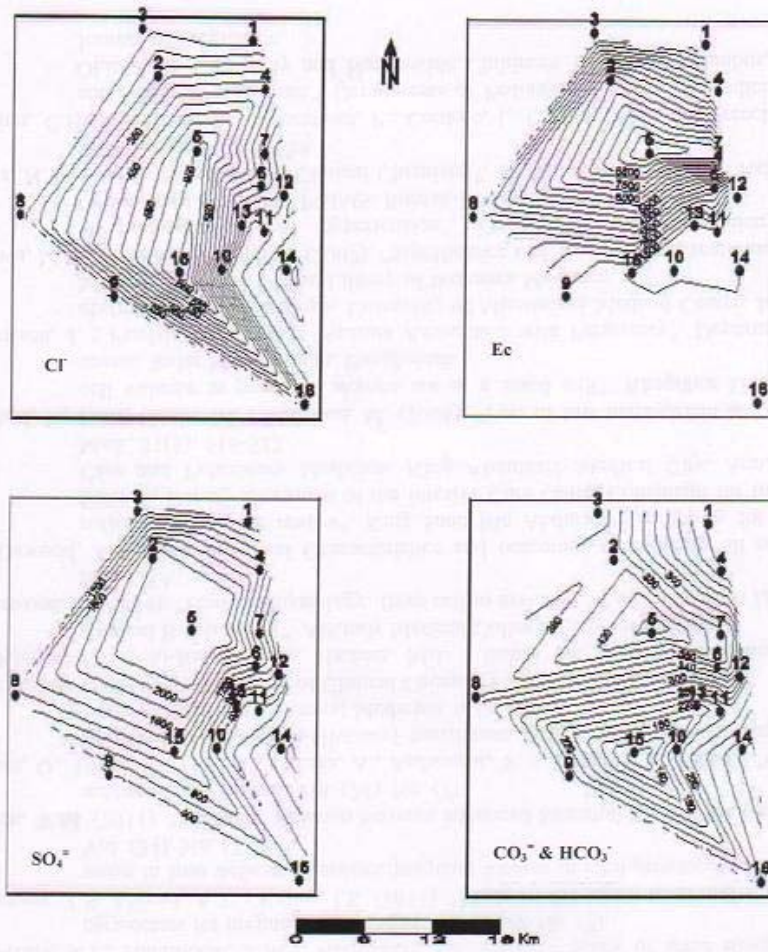
بئر	مجموع المساحة	مجموع الوزن	الأيونات السالبة (epm)					الأيونات الموجبة (epm)			
			NO ₃ ⁻	Cl ⁻	SO ₄ ²⁻	HCO ₃ ⁻	CO ₃ ²⁻	K ⁺	Na ⁺	Mg ²⁺	Ca ²⁺
1	12.11	11.94	0.00	2.00	6.50	3.39	0.21	0.05	0.69	3.41	7.79
2	59.02	59.08	0.00	7.00	45.50	6.08	0.44	0.33	22.05	20.11	16.58
3	14.04	14.12	0.00	3.00	4.00	6.64	0.40	0.05	6.00	4.57	3.60
4	40.20	40.21	0.00	10.00	26.50	3.30	0.40	0.10	15.16	12.45	12.50
5	90.80	90.74	0.00	18.99	64.09	7.12	0.60	0.22	24.47	38.34	29.70
6	38.50	38.61	0.00	7.00	25.00	5.90	0.60	0.06	7.12	17.13	14.20
7	25.80	25.63	0.00	5.00	14.50	5.80	0.60	0.04	4.47	11.02	10.10
8	33.10	33.23	0.74	3.00	23.00	5.44	0.92	0.04	9.98	12.61	10.60
9	13.10	13.25	0.90	2.00	5.50	3.90	0.80	0.04	4.19	4.52	4.50
10	9.42	9.42	0.41	2.00	2.87	3.54	0.60	0.04	4.44	2.14	2.80
11	9.16	9.11	0.00	3.00	2.12	3.24	0.80	0.03	3.30	2.88	2.90
12	10.08	10.12	0.58	2.00	3.50	3.40	0.60	0.03	2.74	3.05	4.30
13	8.04	8.04	0.00	2.00	2.50	2.86	0.68	0.05	5.71	0.98	1.30
14	32.90	32.37	0.14	7.92	19.49	5.00	0.34	0.04	16.63	7.82	7.88
15	49.06	48.76	0.24	20.61	26.40	1.61	0.00	0.05	29.31	7.24	12.18
16	12.58	12.61	0.00	2.00	5.50	4.52	0.56	0.03	3.69	4.29	4.40

بئر	مجموع المساحة	مجموع الوزن	الأيونات السالبة (epm %)					الأيونات الموجبة (epm %)			
			NO ₃ ⁻	Cl ⁻	SO ₄ ²⁻	HCO ₃ ⁻	CO ₃ ²⁻	K ⁺	Na ⁺	Mg ²⁺	Ca ²⁺
1	100.00	100.00	0.00	16.52	53.71	27.99	1.78	0.39	5.78	28.55	65.27
2	100.00	100.00	0.00	11.86	77.10	10.30	0.75	0.56	37.34	34.03	28.07
3	100.00	100.00	0.00	21.36	28.49	47.29	2.85	0.35	42.50	32.37	24.78
4	100.00	100.00	0.00	24.87	65.93	8.21	0.99	0.25	37.71	30.95	31.09
5	100.00	100.00	0.00	20.92	70.68	7.84	0.66	0.24	26.97	40.06	32.73
6	100.00	100.00	0.00	18.18	64.94	15.32	1.56	0.17	18.49	44.47	36.87
7	100.00	100.00	0.00	19.30	55.99	22.39	2.32	0.16	17.43	43.01	39.40
8	100.00	100.00	2.24	9.06	68.49	16.43	2.78	0.12	30.05	37.93	31.90
9	100.00	100.00	8.87	15.27	41.96	29.77	6.11	0.30	31.63	34.12	33.95
10	100.00	100.00	4.35	21.23	30.47	37.58	6.37	0.42	47.14	22.72	29.72
11	100.00	100.00	0.00	32.75	23.15	35.37	6.73	0.33	36.23	31.62	31.83
12	100.00	100.00	5.75	19.84	34.73	33.73	5.95	0.30	27.08	30.15	42.48
13	100.00	100.00	0.00	24.87	31.10	35.57	6.46	0.62	71.02	12.19	16.16
14	100.00	100.00	0.44	24.09	59.24	15.20	1.03	0.12	51.38	24.14	24.36
15	100.00	100.00	0.48	42.43	53.82	3.27	0.00	0.11	60.09	14.84	24.96
16	100.00	100.00	0.00	15.89	43.72	35.93	4.45	0.24	30.85	34.03	34.88

تعكس التحليل الكيميائي الصفات الفيزيائية لمياه الآبار حيث تمثل أيونات الكبريتات والبيكاربونات والكلوريدات والكالسيوم والمغنيسيوم والصوديوم النسب العالية والغالبية تقريباً، بينما تكون بقية الأيونات بنسب واطنة. ولذلك تظهر مياه الآبار ذات ملوحة عالية وطعم مر نسبياً وخاصة الآبار الواقعة في الوسط باتجاه الغرب والجنوب الغربي للمنطقة، بينما تكون الآبار الواقعة في الجهة الشرقية والجنوبية الشرقية من المنطقة ذات ملوحة أقل.

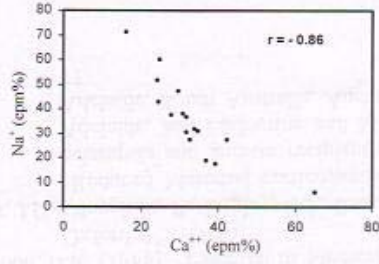
ويوضح الشكل (6) التوزيع الكنتوري لتراكيز مجموعة الكربونات والبيكاربونات، والكبريتات والكلوريدات وهي الأيونات السالبة الرئيسة للأملاح المذابة، فضلاً عن التوزيع الكنتوري للأصالية الكهربائية (والذي يماثل توزيع العسرة الكلية والمواد الصلبة الذاتية). ويلاحظ من الشكل ان زيادة التراكيز يكون في وسط المنطقة قرب قرية كرمليس والقرى المحيطة بها، حيث ان البئر عميق ويخترق تكوين الفتحة. ويأخذ هذا التوزيع بشكل عام استطالة قليلة باتجاه مقارب لأتجاه طية عين الصفرة المحدبة ويقارب محور طية الحدانية المقعرة مائلاً باتجاه نهر دجلة.

ويعزى هذا المحتوى والتوزيع لأيونات (الأملاح المذابة) الى ان منطقة جبل عين الصفرة وطبوغرافية المنطقة وانحدارها باتجاه نهري دجلة والزاب الكبير تعد منطقة تغذية للمياه الجوفية السطحية منها والعميقة وان تركيب الطية المقعرة يساعد على تجمع وإمتداد الخزان الجوفي. فضلاً عن تأثير فعالية ذوبان الأطوار المعدنية المؤلفة لصخور التكوينات المنكشفة قرب جبل عين الصفرة والمكونة للتراب المشققة منها والحاوية على أطوار الكربونات والكبريتات ذات قابلية التأثر بالمحاليل المذيبة. ان المحتوى العالي من أيونات الكبريتات والبيكاربونات والكالسيوم والمغنيسيوم يعزى الى جذر الكبريتات القادم من ذوبان صخور الجبس والأنهيدرايت المكونة من كبريتات الكالسيوم أما البيكاربونات فهي ناتجة من ذوبان معادن الصخور الجيرية (الكالسايت والدولومايت)، ويشير الشكل (7) الى العلاقة السالبة القوية بين الكبريتات من جهة والكربونات والبيكاربونات من جهة اخرى ، وبدل ذلك السى ان المياه الغنية بالبيكاربونات والكالسيوم والمغنيسيوم هي ناتجة من ذوبان صخور الدولومايت المتواجدة في الجزء العلوي من تكوين البلاسي والجزء السفلي من تكوين الفتحة فضلاً عن ذوبان بعض الأطوار المعدنية الموجودة في المارل الموجود في تكوين الفتحة في جزئه السفلي وهذا الأمتزاج ادى الى ارتفاع كل من الكبريتات والمغنيسيوم في المياه، من خلال ارتفاع مستوى المياه الجوفية العميقة وامتزاجها مع المياه الموجودة في كل من تكوينات الفتحة وانجاعة عبر التكرسات وقنوات الأذابة التي أدت الى اغتناء الأخيرة بكبريتات المغنيسيوم وبيكاربونات الكالسيوم، فضلاً عن المياه السطحية الحاملة لنواتج ذوبان صخور الدولومايت وحجر الجير والجبس في اجزاء التكوينات المنكشفة. أما بالنسبة للكلوريدات والصوديوم فان الشكل (8) يوضح ايضاً وجود علاقة سالبة قوية بين الصوديوم والكالسيوم وهذا يعني عدم تواجد الصوديوم بتركيز عالية في نفس الوحدة الصخرية وإنما أتى الاغتناء بهذه الأيونات لأنها من الأملاح ذات القابلية العالية للذوبان والتي تتواجد عادة في المياه من خلال حركتها من السطح متوغلة الى الأعماق مع مرور الزمن

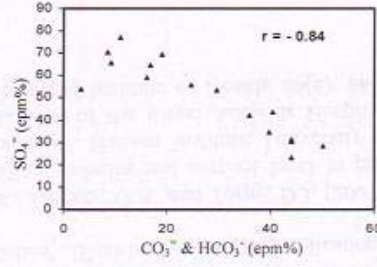


شكل 6: التوزيع الكنتوري للأنيونات الرئيسية والإصالية الكهربائية في آبار الدراسة.

وتحمل املاح كلوريدات الصوديوم المذابة في المياه من خلال مرورها على الترب والصخور الحاوية على تراكيز (ولو انها قليلة) من الهاليت.



شكل (8) : العلاقة بين الكالسيوم والصوديوم.



شكل 7: العلاقة بين الكربونات-البيكاربونات والكبريتات.

ويمكن من خلال معطيات التحاليل الكيميائية هذه تقييم نوعية المياه الجوفية وصلاحياتها. حيث تعد مياه آبار منطقة كرمليس وباشبيطة ويرغنتي وكهريز مياه ذات ملوحة متوسطة بينما بقية الآبار ذات ملوحة قليلة بالاعتماد على تركيز المواد الصلبة الذائبة (Bouwer, 1978). وحسب تصنيف سايبير (Piper, 1944) فإن أغلب آبار الدراسة (1، 2، 4-8) تشير الى كونها مياه مالحة لأن الملوحة الثانوية تزيد على 50%. أما الآبار (3، 9-12، 16) فتتمثل ملوحة أقل لأن أي من الأيونات الموجبة والسالبة نقل عن 50%. كما تمتاز الآبار بان مياهها عسرة جداً بالاعتماد على قيم العسرة الكلية (Todd, 1980) مسا عدا الآبار الواقعة الى الجهة الجنوبية الشرقية من منطقة الدراسة فتمتاز بانها عسرة نسبياً الى عسرة. وحسب تصنيف ولكوكس (Wilcox, 1955) لبيان صلاحية المياه لأغراض الري الذي يعتمد على العلاقة بين قيم الأيضية الكهربائية والنسبة المئوية للصوديوم أن مياه آبار المنطقة تقع ضمن الحدود الجيدة الى المسموح بها لأستخدامات الري عدا منطقة كرمليس وباشبيطة فتعد مياه آبارها غير ملائمة للري.

الأستنتاج

اوضحت المسوحات الجيوفيزيائية باستخدام طريقة المقاومة الكهربائية وجود أربعة انطقة كهربائية؛ يتمثل النطاق الأول بسمك قليل وهو نطاق التربة والترسبات النهرية الحديثة، ويليه النطاق الكهربائي الثاني المتمثل بالترسبات العائدة لتكويني باي حسن والمقدادية، ثم النطاق الثالث وهو نطاق رئيسي ويمثل طبقات تكوين انجاعة، أما النطاق الرابع فيمثل تكوين الفتحة.

على ضوء التقييمات الهيدروجيوكيميائية لآبار المنطقة تبين ان مياه الآبار الواقعة في الجهة الشرقية والجنوبية الشرقية من المنطقة والمتمثلة بالفري الواقعة جنوب كرمليس تصلح مياهها لأستخدامات الشرب والري بينما بقية الآبار في منطقة كرمليس وباشبيطة ويرغنتي فهي غير ملائمة للري. ولكن من المفضل

عدم استخدام المياه الحاوية على تراكيز عالية من أيونات الكبريتات والمغنسيوم للشرب بسبب اضراره الصحية وحالات الأسهال المصاحبة لتناوله وخاصة مناطق عمركان وخرابة سلطان والحمة بالأضافة كرمليس وباشبيبة.

شكر وتقدير

نتوجه بالشكر والتقدير الى السادة محمد شيت محمد رمزي طاقة والسيد محمد فوزي والسيد فيصل حمادي لجهودهما في توفير بعض المراجع المهمة للبحث.

المصادر العربية

- البريفكاني، محمد جلال نوري، 1987. الجس الجيوتكنيكي لصخور الفتحة (الفارس الأسفل) في منطقة حمام العليل، أطروحة ماجستير غير منشورة، كلية العلوم، جامعة الموصل.
- الجبوري، علي، 1977. الخواص الجيوتكنيكية للصخور الجيرية المستغلة لأغراض البناء في منطقة الموصل. أطروحة ماجستير غير منشورة، كلية العلوم، جامعة الموصل.
- الجبوري، منهل عبد السلام، 1988. جيولوجية منطقة الموصل شرق دجلة. رسالة ماجستير غير منشورة، كلية العلوم، جامعة الموصل.
- القصاب، ابراهيم محمد حسون، 1987. أطلس العراق التعليمي. دار الكتب للطباعة والنشر، جامعة الموصل.
- النعيمي، فيصل حمادي، 2000. هيدروجيولوجية حوض وادي الشور. رسالة ماجستير غير منشورة، كلية العلوم، جامعة الموصل.
- ثابت، كنانة محمد، العشو، محمد عمر، 1993. أسس الجيولوجيا الهندسية. إصدارات جامعة الموصل، 338 صفحة.

المصادر الأجنبية

- Al-Mubarak, M.A.R. and Yokhanna, R.Y., 1977. Report of the regional geology mapping of Al-Fatha-Mosul, S.O.M. Library, Baghdad, Iraq.
- Barwary, A.A., 1983. Report on regional geological survey of Khazir- gomel area. Un-published S.O.M. report, No. 1137, S.O.M. Library, Baghdad, Iraq.
- Bellen, R.C., Van, Dunnington, H.V., Wetzel, R. and Morton, D.M., 1959. Lexique Stratgraphique International. V.3, Asic, Fasc. 10a, Iraq, Paris, 338p.
- Bouwer, H., 1978. Ground water hydrogeology, McGraw Hill Co., New York, 480p.
- Davis, S.N. and Dewiest, R.J.M., 1966. Hydrogeology. John Wiley and Sons, New York, 108p.

- Hagopian, D.H. and Vejlupek, N., 1977. The regional geological mapping of Mosul-Erbil area. Unpublished S.O.M. report, S.O.M. Library, Baghdad, Iraq.
- Hamil, L. and Bell, F.G., 1986. Ground water resource development, Butterworth, London, 344p.
- Ingra, Co. P., 1967. One hundred and fourteen wells project, underground water, Mosul Liwa, Final report, No. 2.
- Macfadyen, W.A., 1955. Water supplied in Iraq. Ministry of Development, Gover. Of Iraq. Publication No. 1, Report No. 13.
- Orellana, E. and Mooney, H.M., 1966. Master tables and curves for vertical electrical sounding over layered structures. Interciencia Madrid, Spain.
- Piper, A. M., 1944. A graphical procedure in the geochemistry interpretation of water analysis. Trans. Am. Geoph. Union., 6, pp.914 -923.
- Saleh, S.A. and Al-Shaikh, Z.D., 1976. Geohydrological condition of Mosul area between Tigris and great Zab rivers, Northern Iraq. Mining Eng. Faculty of Engin. Cairo Univ., Egypt.
- Todd, D.K., 1980. Ground water hydrology, 2nd Edition, John Wiley and Sons, New York, 278p.
- Toth, J.A., 1970. A conceptual model of the groundwater regime and the hydrogeological environment. Jour. Hydro., 10, pp.164-167.
- Walton, W.G., 1970. Ground water resource evaluation, McGraw Hill Co., New York, 222p.
- Wilcox, L.V., 1955. Classification and use of irrigation water, U.S. Dept Agric. Circ. 969, Washington, D.C., 19p.

Station	W1	W2	W3	W4	W5	W6	W7
1970	10.5	11.2	12.1	13.0	14.0	15.0	16.0
1971	11.0	11.8	12.8	13.8	14.8	15.8	16.8
1972	11.5	12.4	13.4	14.4	15.4	16.4	17.4
1973	12.0	13.0	14.0	15.0	16.0	17.0	18.0
1974	12.5	13.5	14.5	15.5	16.5	17.5	18.5
1975	13.0	14.0	15.0	16.0	17.0	18.0	19.0
1976	13.5	14.5	15.5	16.5	17.5	18.5	19.5
1977	14.0	15.0	16.0	17.0	18.0	19.0	20.0
1978	14.5	15.5	16.5	17.5	18.5	19.5	20.5
1979	15.0	16.0	17.0	18.0	19.0	20.0	21.0
1980	15.5	16.5	17.5	18.5	19.5	20.5	21.5